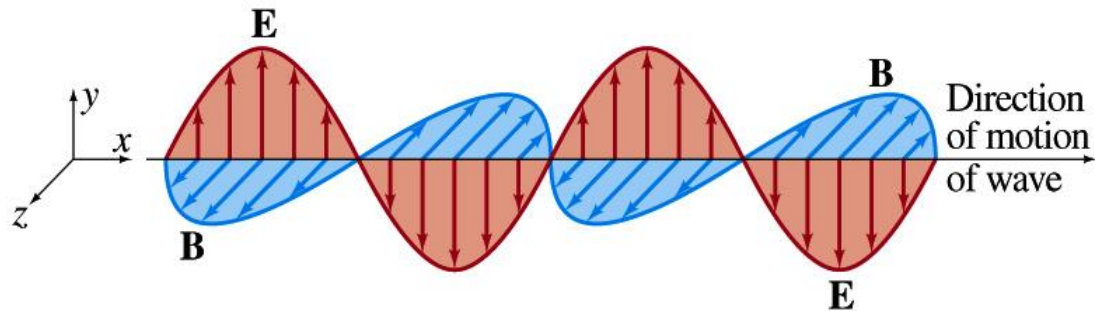


Physical Optics



The wave nature of light
Interference, Diffraction, Polarization, ...

زاهدان - دانشگاه سیستان و بلوچستان - دانشکده مهندسی برق و کامپیوتر -

گروه مهندسی برق و الکترونیک - محمدعلی منصوری بیرجندی

mansouri@ece.usb.ac.ir

mamansouri@yahoo.com

References

□ Main references

➤ Textbook:

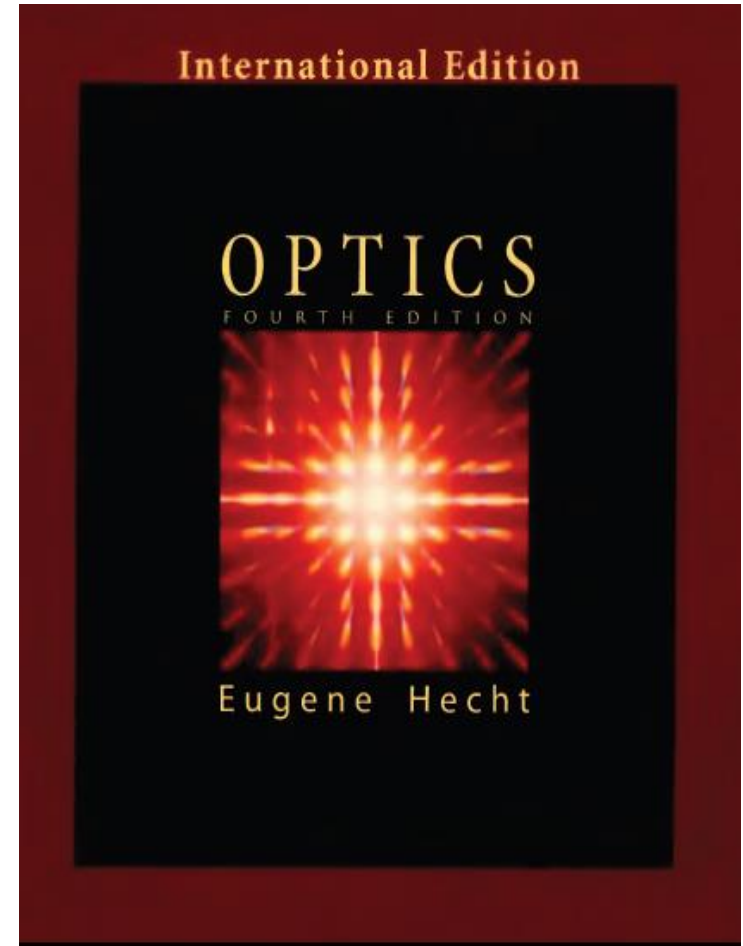
● **Eugenem Hecht,**
Optics- 4th Edition
Addison Wesly, 2002

● ترجمه کتاب فوق:

اپتیک، ویراست ۴

یوجن هشت، [مترجم] محمود دیانی،

موسسه علمی فرهنگی نص، ۱۳۸۵



فهرست مطالب

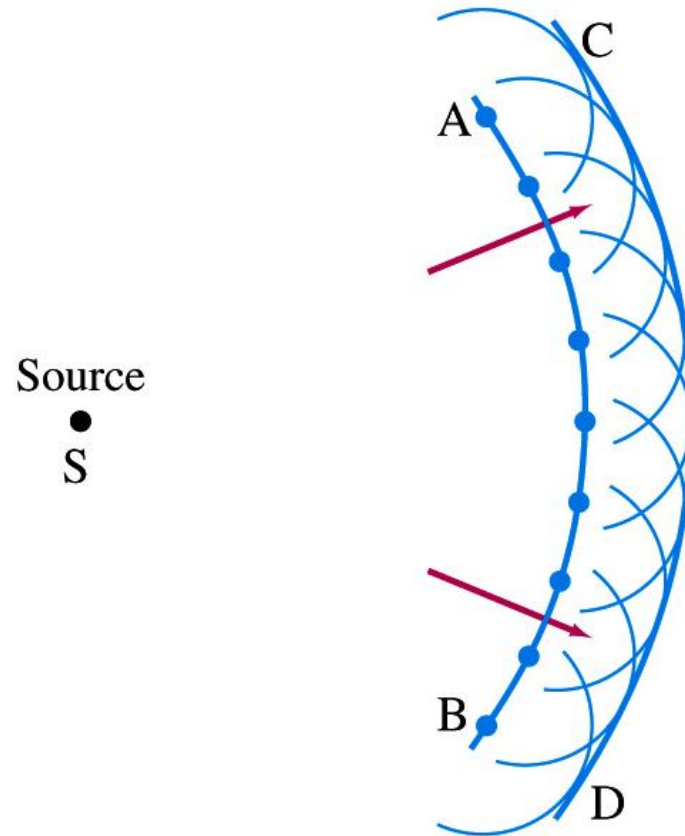
۱- اصل هویگنس	۱۱- طیف فرکانسی و طول موج مرتبط
۲- پراش	۱۲- طبقه بندی مواد
۳- قانون اسنل دکارت	۱۳- الکترومغناطیس و معادلات ماکسول
۴- جمع اثار، تداخل سازنده و مخرب	۱۴- معادله موج
۵- شرایط تداخل	۱۵- ضریب شکست
۶- آزمایش ینگ	۱۶- قطبش و شرایط مرزی
۷- توزیع شدت، میدان الکتریکی	۱۷- زاویه بحرانی، زاویه بروستر
۸- لایه های نازک	۱۸- اپتیک غیرخطی
۹- تغییر فاز بازتاب	۱۹- دوشکستی یا شکست مضاعف
۱۰- تداخل در لایه های نازک	۲۰- اثر پاکل، اثر کر

واژه نامه

Birefringence	دوشکستی	Interference	تداخل
Brewster's angle	زاویه بروستر	Isotropic	همسانگرد
Constructive	سازنده	Linear	خطی
Critical angle	زاویه بحرانی	Polarization	قطبش
Diffraction	پراش	Reflection	بازتاب
Dispersion	پاشندگی	Refraction	شکست
Dispersive	پاشنده	Refractive Index	ضریب شکست
Destructive	مخرب	Thin Film	لایه نازک
Homogeneous	همگن	Total internal reflection	بازتاب کلی داخلی
		Superposition	جمع آثار

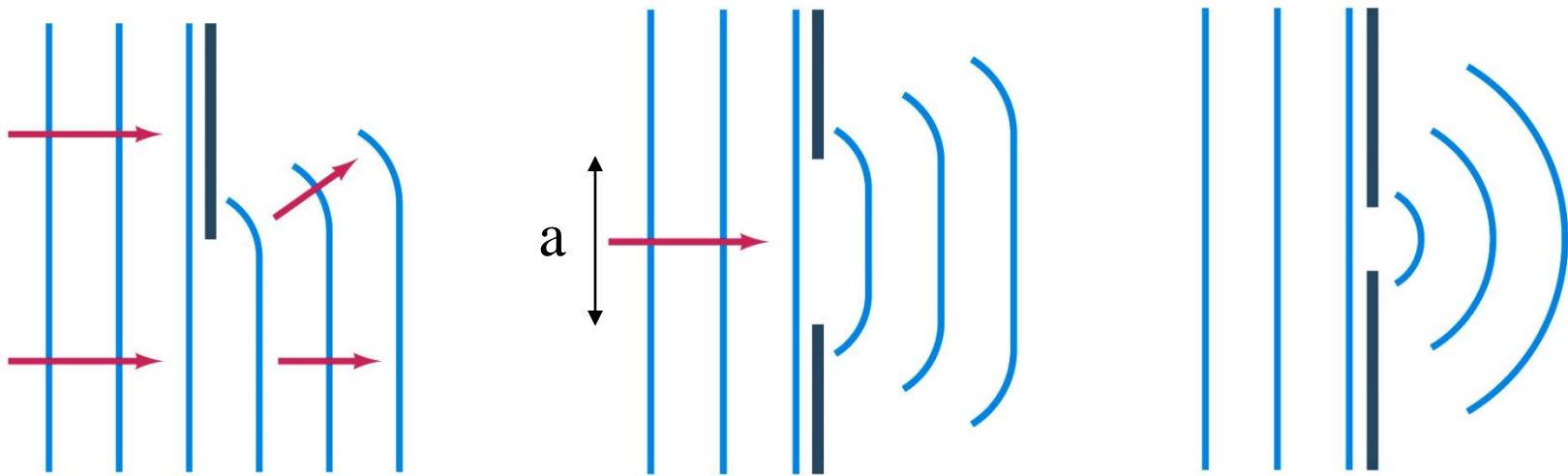
Huygens' Principle

- هر نقطه ای از جبهه موج انتشاری به عنوان منبع موجک های کروی عمل میکند، به طوری که موجک در بعضی اوقات عقبتر از پوش این موج است.
- اگر موج انتشاری دارای یک فرکانس و سرعت خاص باشد، موجک های ثانویه دارای همان فرکانس و سرعت هستند.



“Isotropic”

Diffraction (پراش)



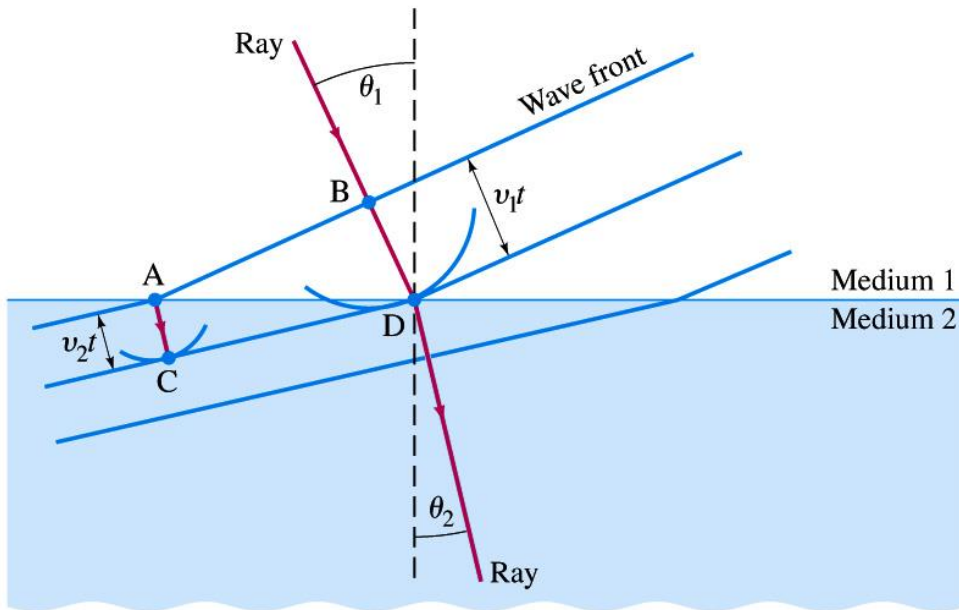
- **Diffraction** – Bending of light into the shadow region
- Grimaldi - 17th Century observation of diffraction
- **Diffraction** vs. **Refraction** (بازتاب)? $\lambda \approx a$

Diffraction (پراش)



© 2004 Thomson - Brooks/Cole

Explanation of Snell's Law



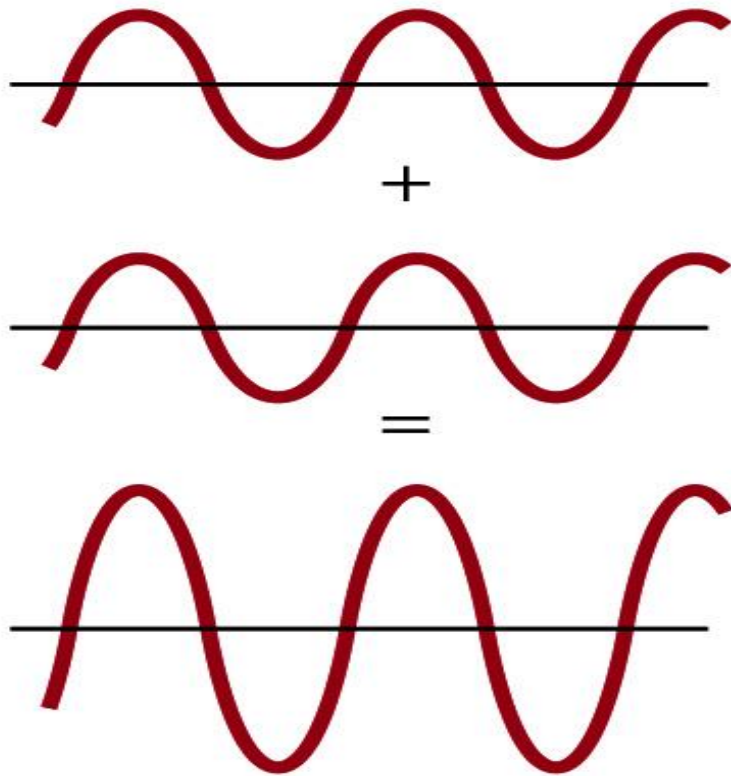
$$\sin \theta_1 = \frac{BD}{AD} = \frac{v_1 \Delta t}{AD}$$

$$\sin \theta_2 = \frac{AC}{AD} = \frac{v_2 \Delta t}{AD}$$

$$\frac{\sin \theta_1}{\sin \theta_2} = \frac{v_1 \Delta t}{v_2 \Delta t} = \frac{c/n_1}{c/n_2}$$

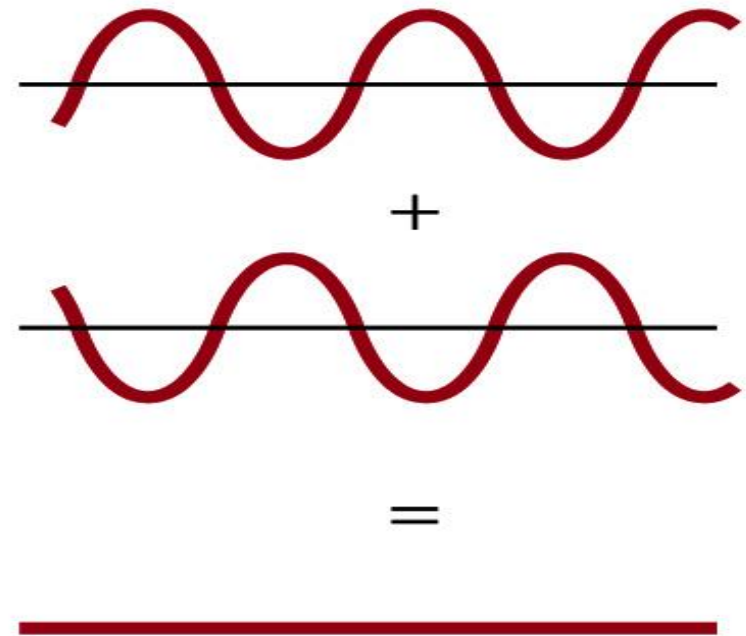
$$n_1 \sin \theta_1 = n_2 \sin \theta_2$$

Superposition of waves



(a)

Constructive Interference



(b)

Destructive Interference

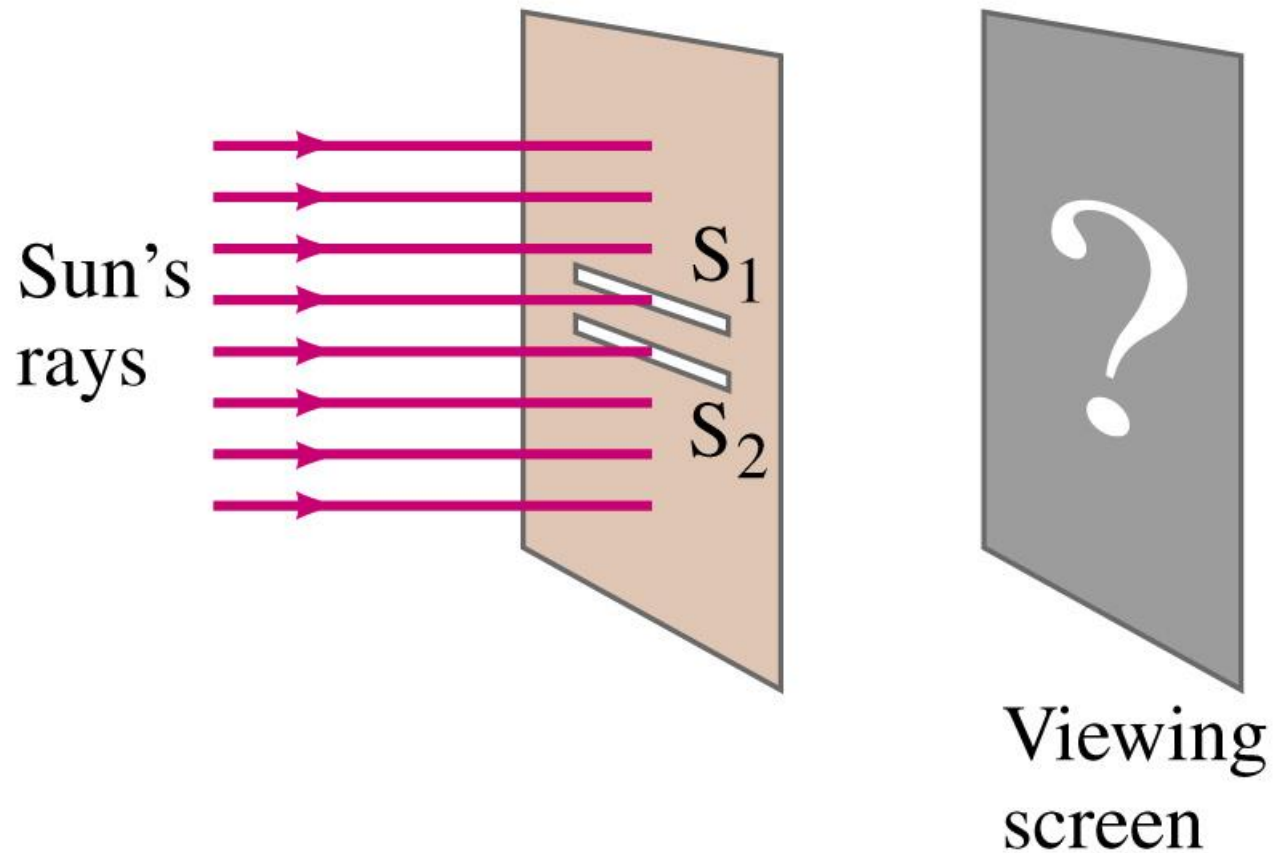
Conditions for Interference

❖ برای مشاهده **تداخل** در امواج نور، باید دو شرایط زیر را داشته باشیم:

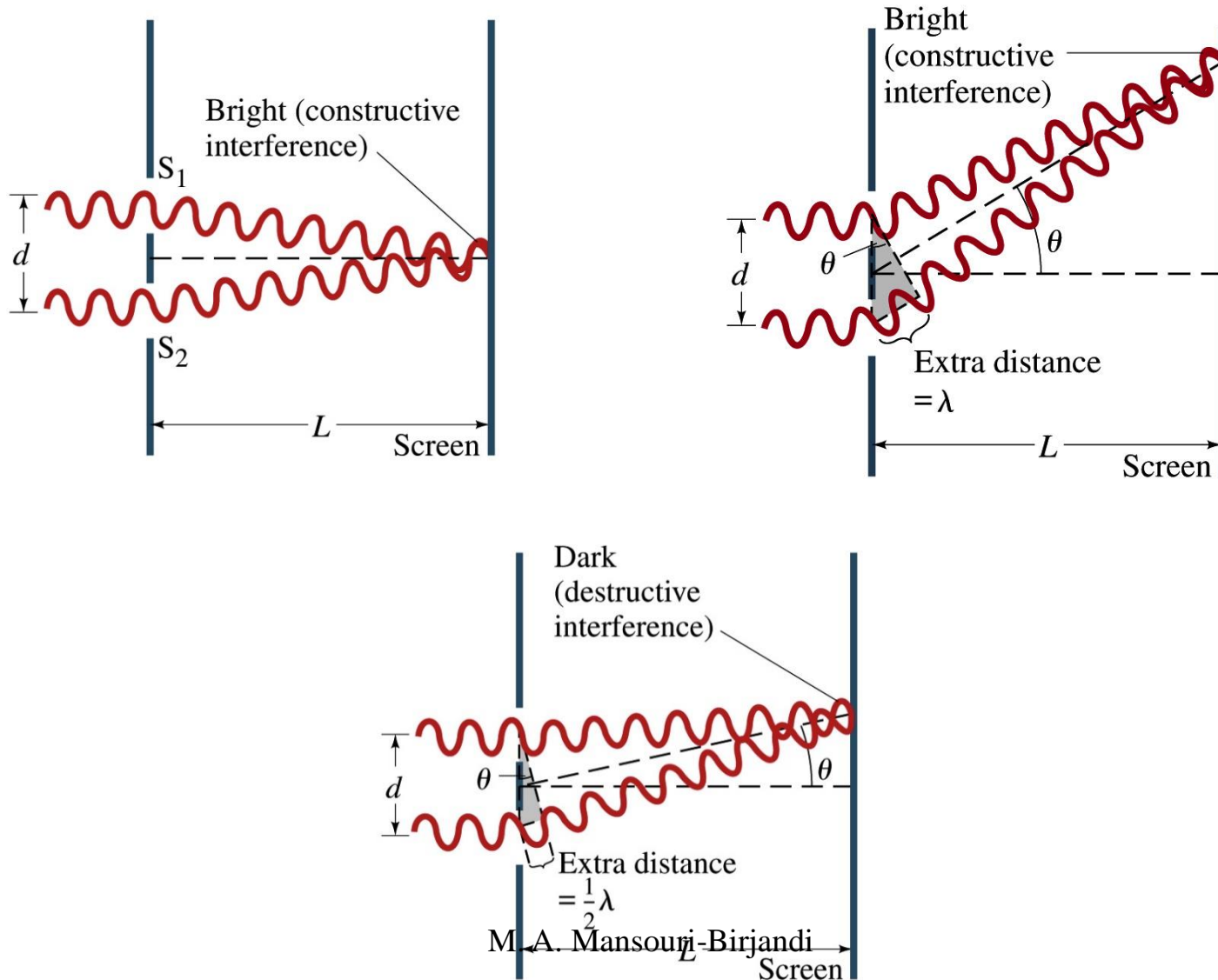
(۱) منابع باید **همدوس** باشند. (Coherent)
(یعنی امواج یک فاز ثابت را نسبت به یکدیگر حفظ کنند)

(۲) منابع باید **تک رنگ** باشند. (Monochromatic)
(یعنی دارای یک طول موج باشند)

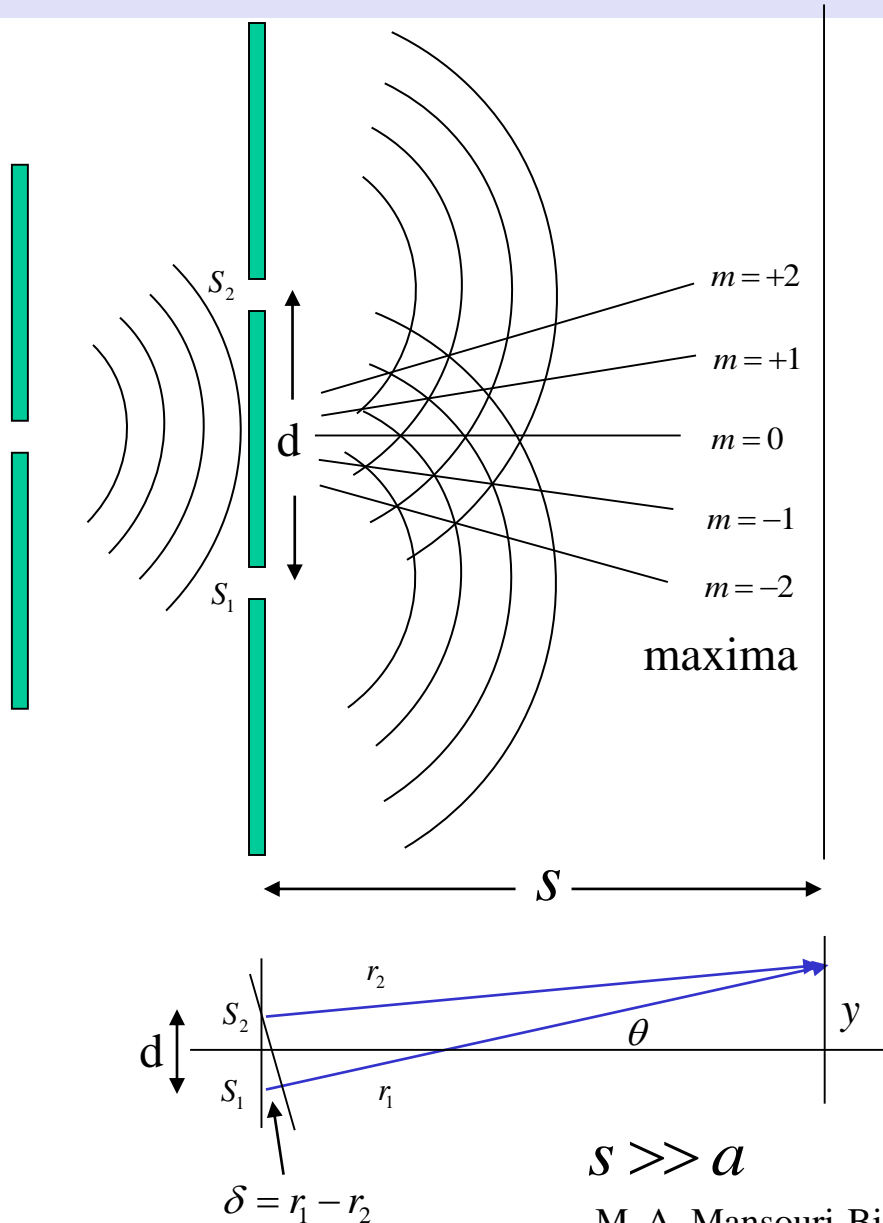
Young's Experiment (1)



Young's Experiment (2)



Young's Experiment (3)



Maxima occur when:

$$\delta = r_1 - r_2 = m\lambda$$

$$\sin \theta \approx \frac{\delta}{d}$$

$$\delta \approx d \sin \theta = m\lambda$$

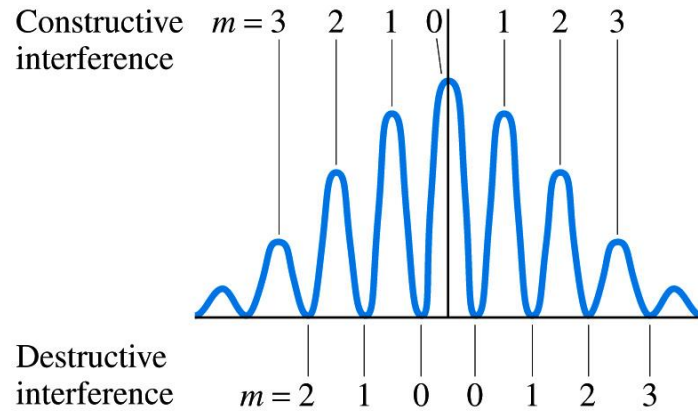
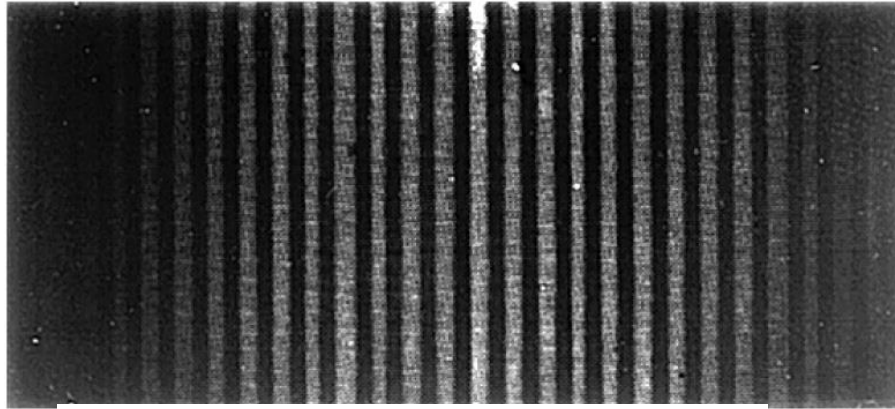
Minima occur when:

$$\delta = r_1 - r_2 = \left(m + \frac{1}{2} \right) \lambda$$

$$\delta \approx d \sin \theta = \left(m + \frac{1}{2} \right) \lambda$$

$$s \gg a$$

What the **pattern** looks like



Intensity Distribution, Electric Fields

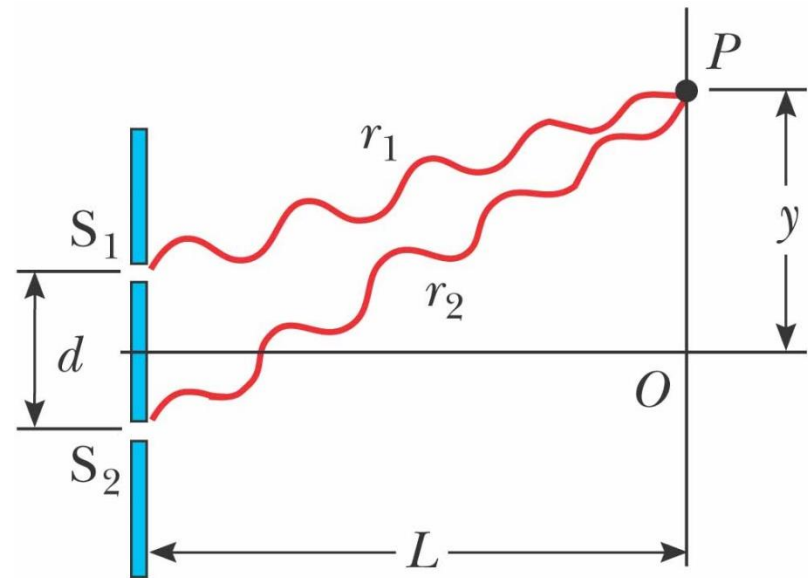
- The magnitude of each wave at point P can be found:

$$E_1 = E_0 \sin \omega t$$

$$E_2 = E_0 \sin (\omega t + \varphi)$$

Both waves have the same amplitude, E_0

$$\varphi = \frac{2\pi}{\lambda} \delta = \frac{2\pi}{\lambda} d \sin \theta$$



©2004 Thomson - Brooks/Cole

Intensity Distribution, Resultant Field

- The magnitude of the **resultant electric field** comes from the **superposition** principle:

$$E_P = E_1 + E_2 = E_0[\sin \omega t + \sin (\omega t + \varphi)]$$

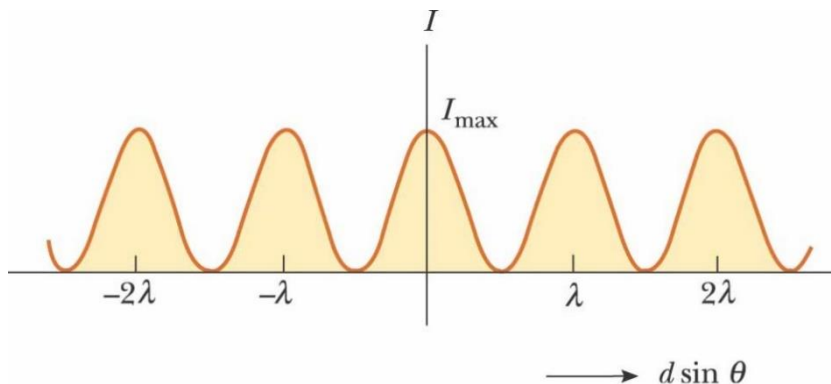
$$\sin A + \sin B = 2 \sin \left(\frac{A+B}{2} \right) \cos \left(\frac{A-B}{2} \right)$$

- This can also be expressed as: $E_P = 2E_0 \cos \left(\frac{\varphi}{2} \right) \sin \left(\omega t + \frac{\varphi}{2} \right)$
 - E_P has the **same frequency** as the light at the slits
 - The **magnitude** of the field is multiplied by the factor **$2 \cos (\varphi / 2)$**

Intensity Distribution, Equation

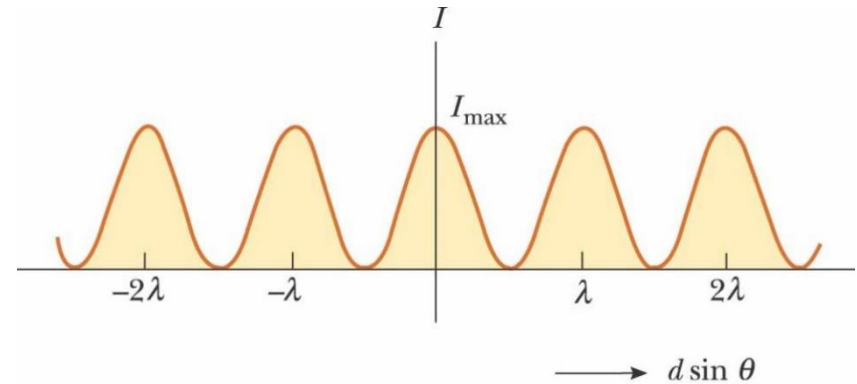
- The expression for the **intensity** comes from the fact that *the intensity of a wave is proportional to the square of the resultant electric field magnitude at that point*
- Therefore, the **intensity** is:

$$I = I_{\max} \cos^2 \left(\frac{\pi d \sin \theta}{\lambda} \right) \approx I_{\max} \cos^2 \left(\frac{\pi d}{\lambda L} y \right)$$



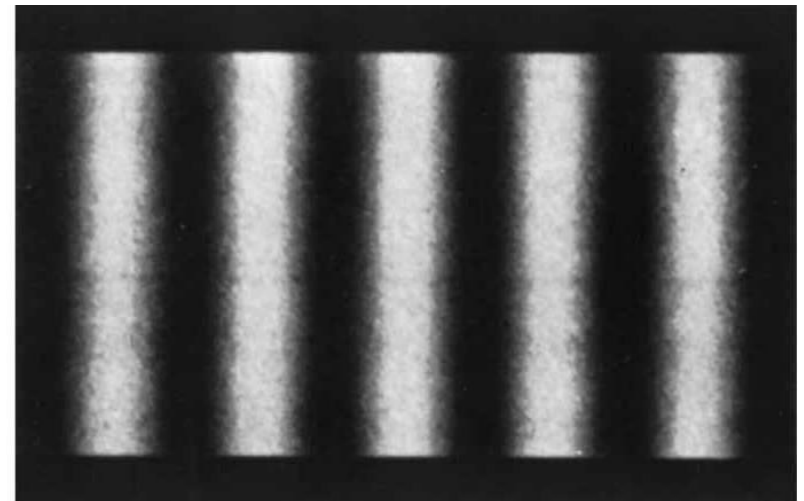
Resulting Interference Pattern

- The **light** from the **two slits** forms a **visible** pattern on a **screen**:
- The **pattern** consists of a series of **bright** and **dark** parallel **bands** called *fringes*
- *Constructive interference* occurs where a **bright fringe** occurs
- *Destructive interference* results in a **dark fringe**

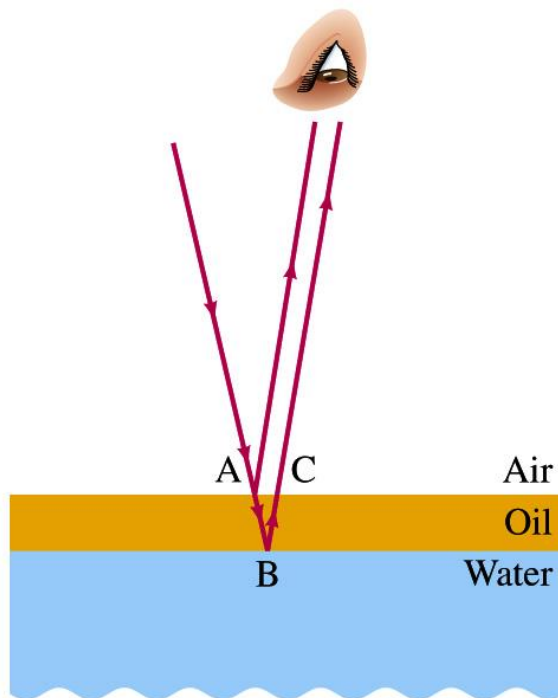


©2004 Thomson - Brooks/Cole

©2004 Thomson - Brooks/Cole
(b)



Thin Films



Constructive Interference (maxima)

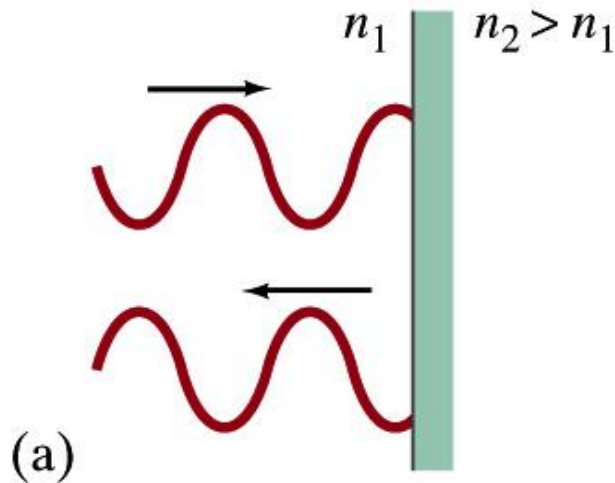
$$d_{ABC} = m\lambda_n$$

$$\lambda_n = \frac{\lambda_o}{n}$$

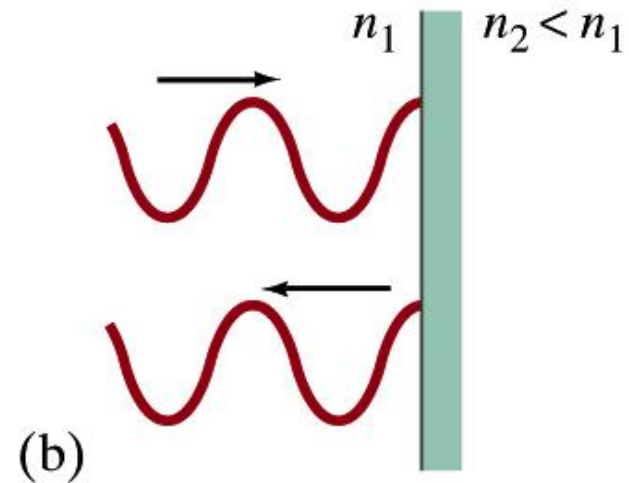
Destructive Interference (minima)

$$d_{ABC} = \left(m + \frac{1}{2} \right) \lambda_n$$

Phase shift on Reflection



External Reflection

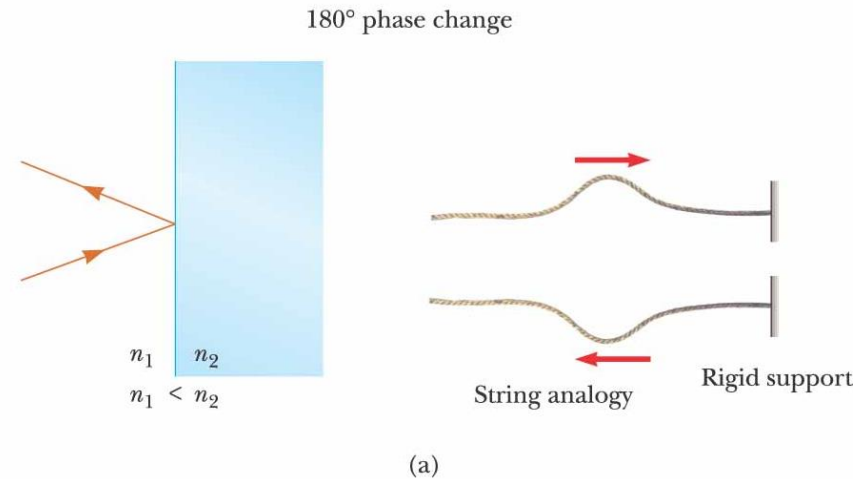


Internal Reflection

Now, If one reflection is **internal** and one reflection is **external** half wavelength path differences will result in **constructive** interference

Phase Changes due to Reflection

- An electromagnetic wave undergoes a phase change of 180° upon reflection from a medium of higher index of refraction than the one in which it was traveling
- Analogous to a pulse on a string reflected from a rigid support



ison - Brooks/Cole

Interference in Thin Films again

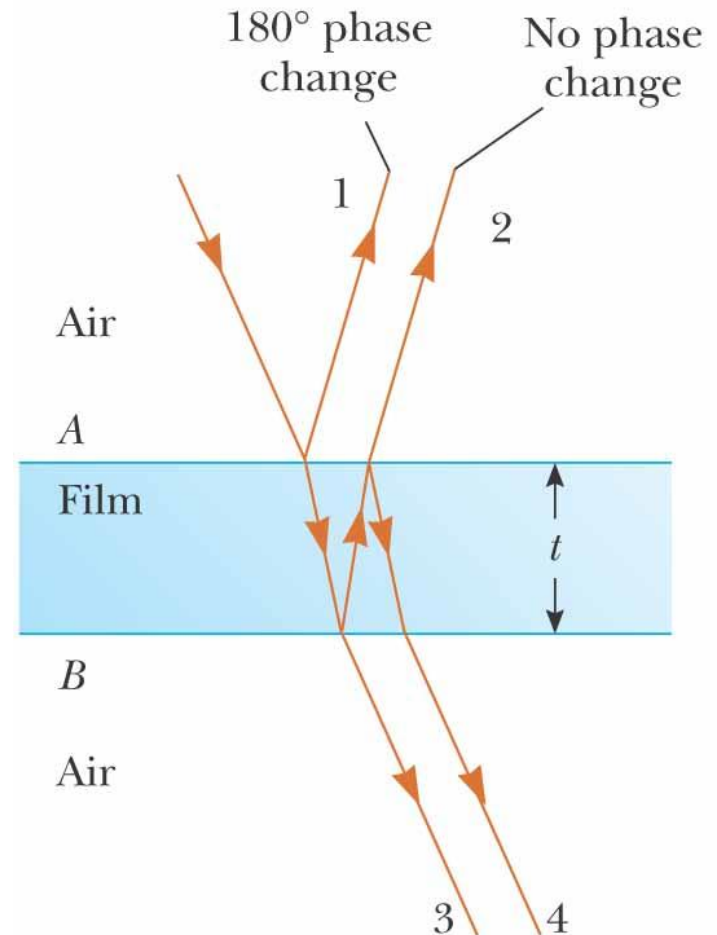
- Assume the light rays are traveling in **air** nearly normal to the **two surfaces** of the film
- **Ray 1** undergoes a phase change of **180°** with respect to the **incident ray**
- **Ray 2**, which is **reflected** from the **lower surface**, undergoes **no phase change** with respect to the incident wave
- For **constructive** interference

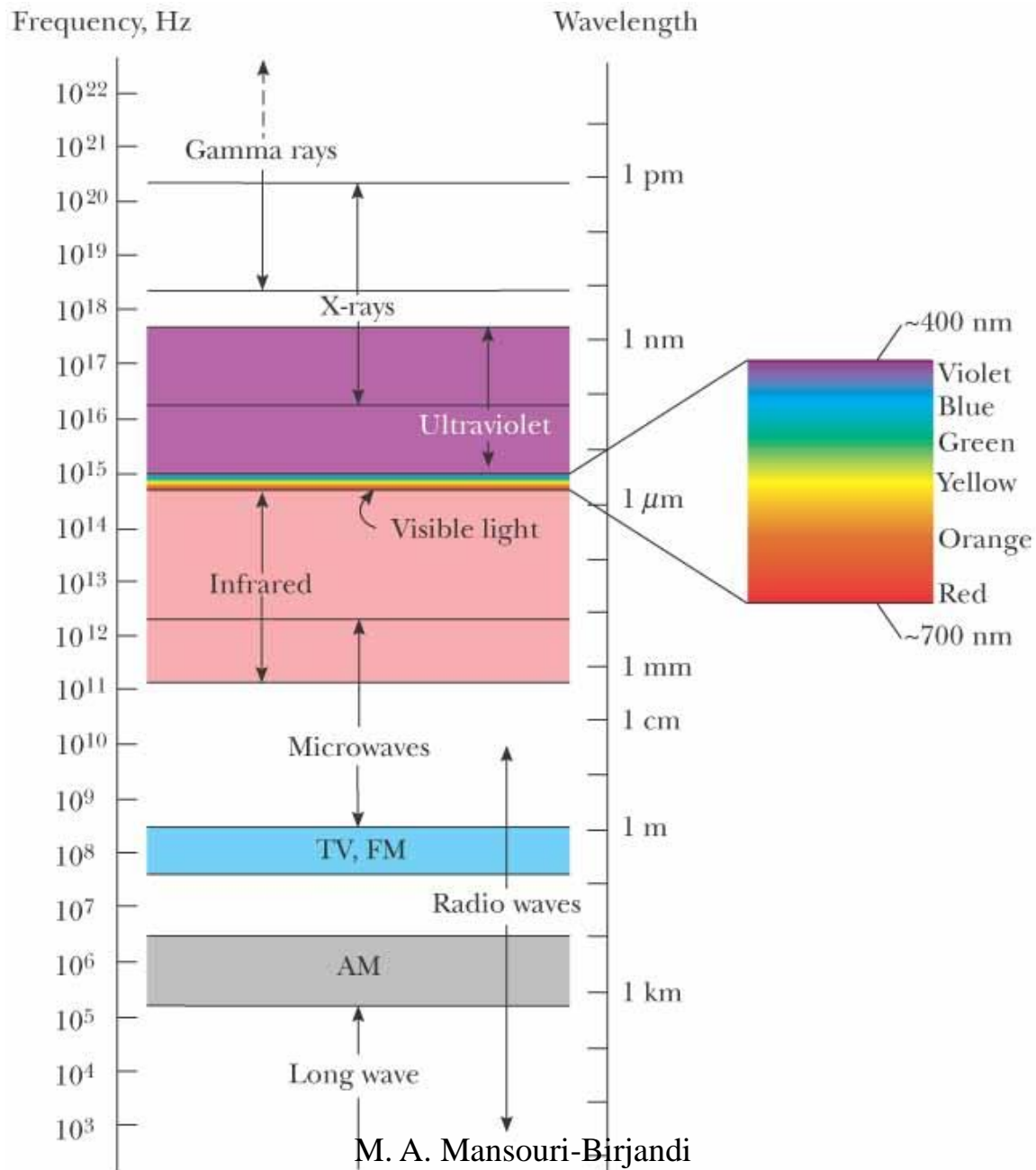
$$\delta = 2t = (m + \frac{1}{2})\lambda_n \quad (m = 0, 1, 2 \dots)$$

- This takes into account both the difference in optical path length for the two rays and the 180° phase change

- For **destructive** interference

$$\delta = 2t = m\lambda_n \quad (m = 0, 1, 2 \dots)$$





M. A. Mansouri-Birjandi

Material Categorize

از نظر وابستگی ضرایب اساسی شان (ϵ و μ) به **دامنه** میدانهای H, E :
۱- **خطی (Linear)** ۲- **غیر خطی** (ضرایب ϵ و μ به صورت تابعی از H, E خواهند بود).

از نظر وابستگی ضرایب اساسی شان (ϵ و μ) به **موقعیت** مختصاتی و مکانی:
۱- **همگن (Homogeneous)** ۲- **غیر همگن** (ϵ و μ به صورت تابعی از مکان سه بعدی x, y, z خواهند بود).

از نظر وابستگی ضرایب اساسی شان (ϵ و μ) به **جهت اعمال** میدانهای H, E :
۱- **همسانگرد (Isotropic)** ۲- **ناهمسانگرد (anisotropic)** (ϵ و μ به صورت تانسوری خواهند بود).

از نظر وابستگی ضرایب اساسی شان (ϵ و μ) به **فرکانس**:
۱. **غیر پاشنده (nondispersive)** ۲. **پاشنده (Dispersive)** (ϵ و μ تابعی از فرکانس میدان اعمالی خواهند بود).

$$\bar{D}(\bar{r}) = \epsilon_0 \epsilon(\bar{r}) \bar{E}(\bar{r})$$

$$\bar{B} = \mu_0 \bar{H}$$

Electromagnetic

Table 1.1 *Maxwell equations*

$\nabla \cdot \mathbf{D} = \rho$	Coulomb's law
$\nabla \cdot \mathbf{B} = 0$	No magnetic monopoles
$\nabla \times \mathbf{E} = -\frac{\partial \mathbf{B}}{\partial t}$	Faraday's law
$\nabla \times \mathbf{H} = \mathbf{J} + \frac{\partial \mathbf{D}}{\partial t}$	Modified Ampère's law

D :displacement vector field

E: electric field, or electric flux density

χ_e : electric susceptibility

P: electric polarization field

H and B: The magnetic field vector, or the magnetic flux density

$$\mathbf{D} = \varepsilon \mathbf{E} = \varepsilon_0 \varepsilon_r \mathbf{E} = \varepsilon_0 (1 + \chi_e) \mathbf{E} = \varepsilon_0 \mathbf{E} + \mathbf{P}$$

$$\begin{aligned} \mathbf{B} &= \mu \mathbf{H} = \mu_0 \mu_r \mathbf{H} = \mu_0 (1 + \chi_m) \mathbf{H} \\ &= \mu_0 (\mathbf{H} + \mathbf{M}) \end{aligned}$$

μ : permeability,

μ_r : relative permeability,

χ_m : magnetic susceptibility,

M: magnetization

Classical electromagnetism

Classical electrodynamics describes the **spatial** and **temporal** behavior of **electric** and **magnetic** fields.

Plane waves can be represented *spatially* as:

$$\sin(kx) = \frac{1}{2i}(e^{ikx} - e^{-ikx}) \quad (74)$$

$$\cos(kx) = \frac{1}{2}(e^{ikx} + e^{-ikx}) \quad (75)$$

$$e^{ikx} = \cos(kx) + i \sin(kx) \quad (76)$$

Plane waves can be represented *temporally* by:

$$e^{-i\omega t} = \cos(\omega t) - i \sin(\omega t) \quad (77)$$

plane wave:

$$A e^{i(\mathbf{k} \cdot \mathbf{r} - \omega t)} \quad (78)$$

A: amplitude of the wave,
 $K=2\pi/\lambda$: wave vector of magnitude,
 $\omega=2\pi f$: angular frequency,
 $f=1/\tau$: frequency,
 τ : periode

Wave equation

$$\nabla \times (\nabla \times y) = \nabla(\nabla \cdot y) - \nabla^2 y$$

$$\nabla \times (\nabla \times E) = \nabla(\nabla \cdot E) - \nabla^2 E, \quad \nabla \cdot (E) = \nabla \cdot (D / \epsilon) = 0$$

$$\nabla \times (\nabla \times E) = -\nabla \times \left(\frac{\partial B}{\partial t} \right) = -\nabla \times \left(\mu \frac{\partial H}{\partial t} \right) \Rightarrow \nabla(\nabla \cdot E) - \nabla^2 E = \mu \frac{\partial(\nabla \times H)}{\partial t}$$

$$\nabla^2 E = \mu \frac{\partial(\partial D / \partial t)}{\partial t} \Rightarrow$$

$$\nabla^2 E = \epsilon \mu \frac{\partial^2 E}{\partial t^2}$$

$$\nabla^2 H = \epsilon \mu \frac{\partial^2 H}{\partial t^2}$$

که همان معادله موج است

$$\nabla \Phi^2 = \frac{1}{v_p^2} \frac{\partial^2 \Phi}{\partial t^2}$$

$$E \equiv E(x, y, z, t)$$

$$H \equiv H(x, y, z, t)$$

$$v_p = \frac{1}{\sqrt{\mu_\epsilon}} = \frac{1}{\sqrt{\mu_0 \mu_r \epsilon_0 \epsilon_r}}$$

Refractive Index

- The **propagation speed** of the electromagnetic waves in a **medium** v as function of the **speed of light** in **free space** c ,

$$v \equiv \frac{c}{n}$$

- n represents the **refractive index** of the dielectric medium.
- The **refractive index** is related with the **optical constant** of the material medium and the dielectric **permittivity** and the magnetic **permeability** of the **free space** by:

$$n \equiv \sqrt{\frac{\epsilon\mu}{\epsilon_0\mu_0}}$$

- In most of the materials (non-magnetic materials), and in particular in **dielectric media**, the magnetic **permeability** is very close to that of free space: $\mu \approx \mu_0$.

$$n \approx \sqrt{\frac{\epsilon}{\epsilon_0}} = \sqrt{\epsilon_r}$$

*دسته بندی مدها (قطبش): انتشار در جهت z فرض شده است.

TE: Transverse Electric Mode
(**TE or n waves: E_y, H_x, H_z**)

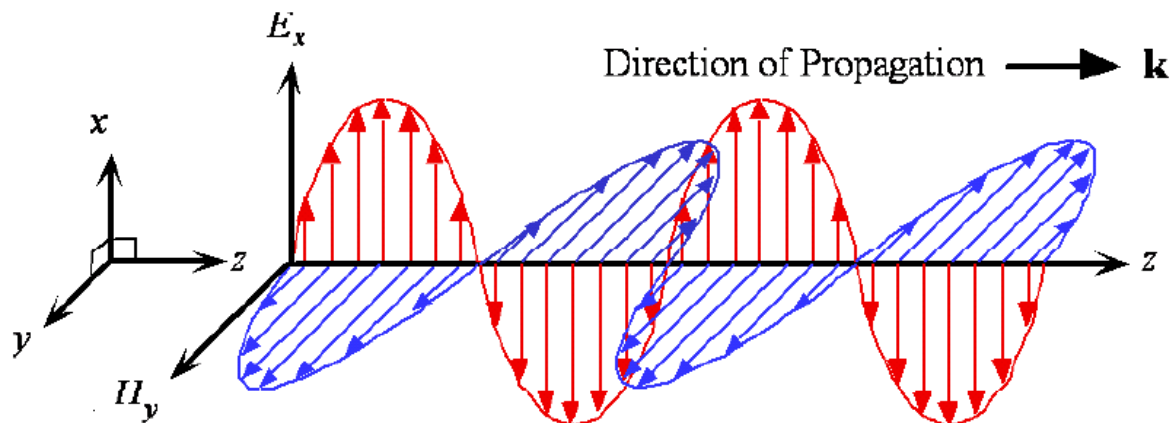
$$E_z = 0, \quad H_z \neq 0$$

TM: Transverse Magnetic Mode
(**TM or p waves: E_x, E_z, H_y**)

$$H_z = 0, \quad E_z \neq 0$$

TEM: Transverse Electric and Magnetic Mode

$$E_z = 0, \quad H_z = 0$$



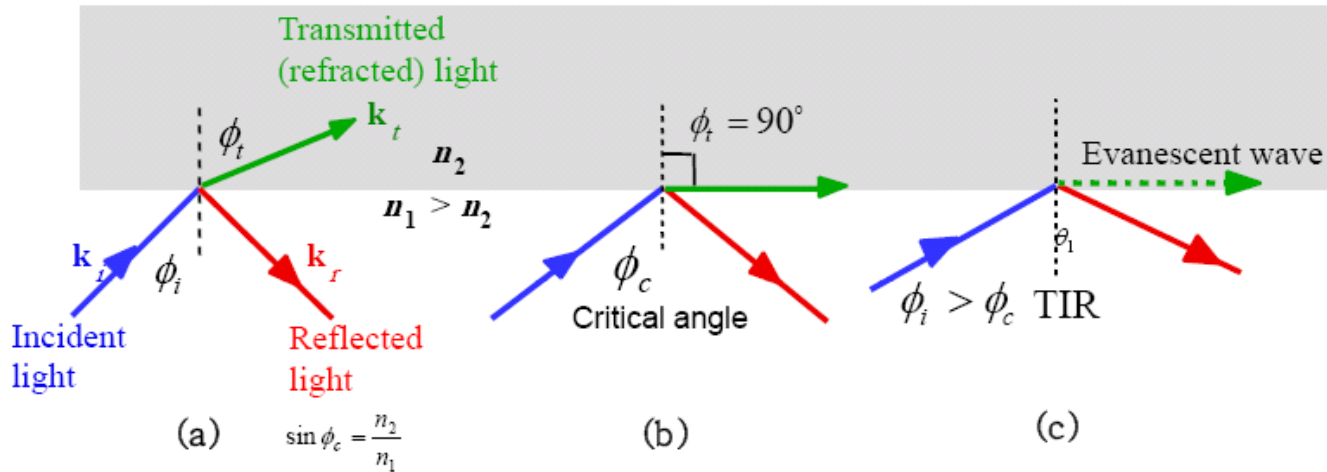
EM Waves at planar Dielectric Interfaces

➤ The relations between the **incident**, **reflected** and **transmitted** waves are obtained by setting the adequate **boundary conditions** for the **fields at the planar interface**, which are derived directly from **Maxwell's equations**.

$$\left. \begin{array}{l} \nabla \cdot \mathbf{D} = 0 \\ \nabla \cdot \mathbf{B} = 0 \end{array} \right\} \Rightarrow \left\{ \begin{array}{l} (\mathbf{D}^{\text{Normal}})_{\text{Medium 1}} = (\mathbf{D}^{\text{Normal}})_{\text{Medium 2}} \\ (\mathbf{B}^{\text{Normal}})_{\text{Medium 1}} = (\mathbf{B}^{\text{Normal}})_{\text{Medium 2}} \end{array} \right. \quad \text{at interface}$$

$$\left. \begin{array}{l} \nabla \times \mathbf{E} = -\frac{\partial \mathbf{B}}{\partial t} \\ \nabla \times \mathbf{H} = \mathbf{J} + \frac{\partial \mathbf{D}}{\partial t} \end{array} \right\} \Rightarrow \left\{ \begin{array}{l} (\mathbf{E}^{\text{Tangential}})_{\text{Medium 1}} = (\mathbf{E}^{\text{Tangential}})_{\text{Medium 2}} \\ (\mathbf{H}^{\text{Tangential}})_{\text{Medium 1}} = (\mathbf{H}^{\text{Tangential}})_{\text{Medium 2}} \end{array} \right.$$

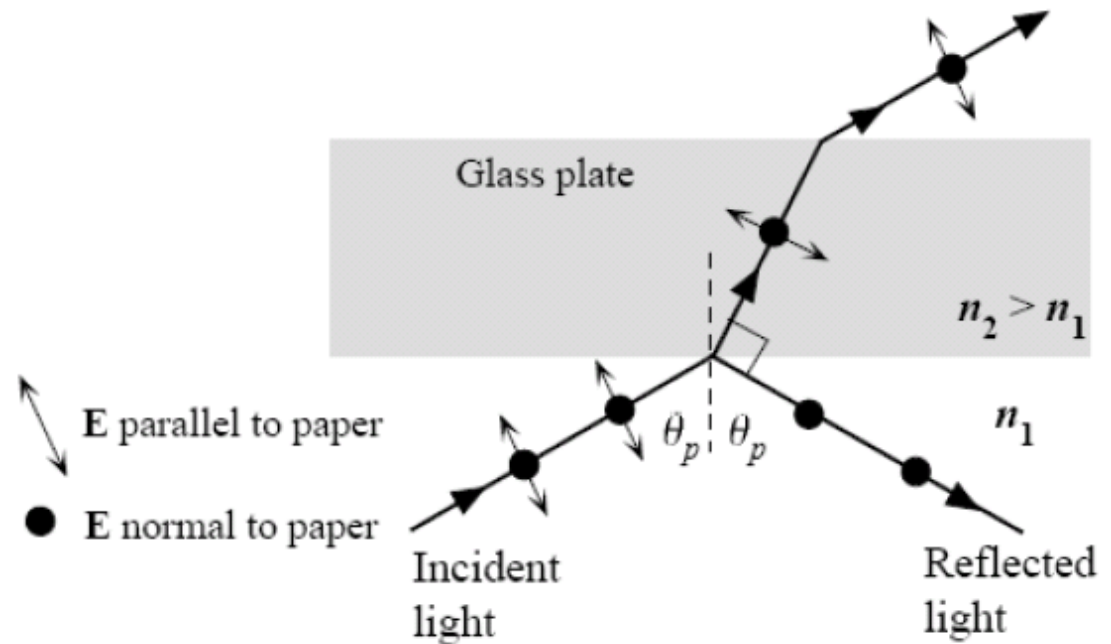
Total internal reflection, Critical angle



$$\sin \phi_c = \frac{n_2}{n_1}$$

Brewster's angle or polarization angle (θ_p)

$$\tan \theta_p = \frac{n_2}{n_1}$$

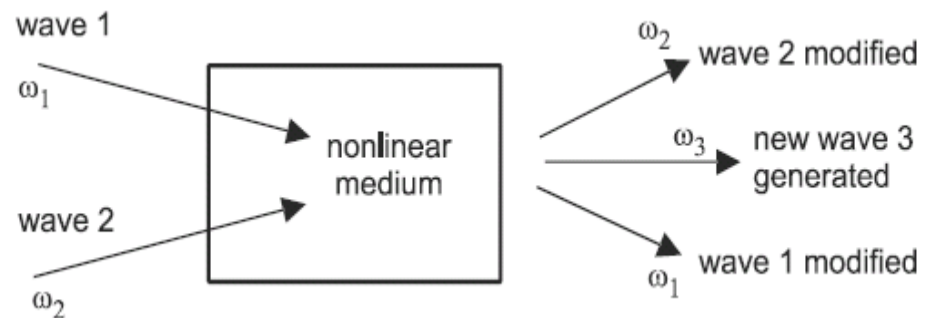
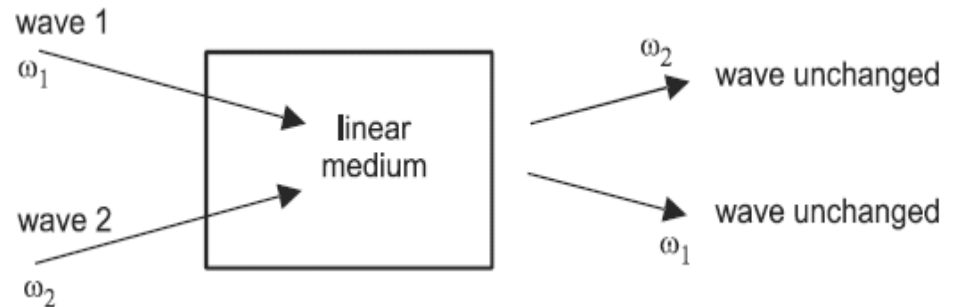


Nonlinear Optics

➤ **A linear interaction:** The presence of wave 2 has no effect on wave 1, and vice versa.

➤ **A nonlinear interaction:** Each wave can **modify** the properties of the other, **changing**, for example, the other wave's **amplitude** or **phase**.

➤ **Self-action:** One of the waves can also modify **its own** amplitude or phase.



Birefringence (doubly refracting)

➤ Many important **crystalline optical** materials such as **calcite** (CaCO_3), **quartz** (SiO_2) and **KDP** (Potassium dihydrogen phosphate, KH_2PO_4) are **anisotropic**.

$$P = \varepsilon_0 \cdot \chi \cdot E$$

$$P = a_1 E + \frac{1}{2} a_2 E^2 + \frac{1}{6} a_3 E^3 + \dots$$

$$a_1 = \varepsilon_0 \cdot \chi^{(1)}$$

$$\chi \equiv \frac{P_x}{\varepsilon_0 E_x} \quad (\text{electric susceptibility})$$

$$\mathbf{P} = \varepsilon_0 \left(\chi^{(1)} \cdot \mathbf{E} + \chi^{(2)} \mathbf{E}^2 + \chi^{(3)} \mathbf{E}^3 + \dots \right) \equiv \mathbf{P}^{(1)} + \mathbf{P}^{(2)} + \mathbf{P}^{(3)} + \dots$$

بلورهای دوشکستی: ضریب شکست، نه تنها به راستای انتشار امواج، بلکه به راستای قطبش بلور نیز بستگی دارد.

$$D = \varepsilon_0 \cdot E + P = \varepsilon_0 \cdot E + \varepsilon_0 \cdot \chi \cdot E = \varepsilon_0 (1 + \chi) E$$

$$D = \varepsilon_0 \cdot E + P = \varepsilon_0 \cdot E + \varepsilon_0 \cdot \chi \cdot E = \varepsilon_0 (1 + \chi) E$$

$$\begin{bmatrix} D_x \\ D_y \\ D_z \end{bmatrix} = \begin{bmatrix} \varepsilon_0(1 + \chi_x) & 0 & 0 \\ 0 & \varepsilon_0(1 + \chi_y) & 0 \\ 0 & 0 & \varepsilon_0(1 + \chi_z) \end{bmatrix} \begin{bmatrix} E_x \\ E_y \\ E_z \end{bmatrix}$$

$$n_x = \sqrt{1 + \chi_x} \quad n_y = \sqrt{1 + \chi_y} \quad n_z = \sqrt{1 + \chi_z}$$

$$\Delta(1/n^2) = r\mathcal{E} + P\mathcal{E}^2$$

r.E: Pockels effect, P.E²: Kerr effect

r: linear electro-optic coefficient

P: quadratic electro-optic coefficient